

9 鋼薄肉矩形断面のねじれ実験について

名古屋大学工学部 正員 島田耕雄
東島建設 K.K. 正員 水野一男
名古屋大学大学院 学生員 ○北村雅司

1. まえがき

本実験は、ねじれ実験のシリーズ中最後のものとして、HT80についておこなったものである。実験時、材料試験およびH-3, 4, 6, 7の実験が残っているが、現在までに整理した結果を報告する。実験は、次のような点に関して検討することとした。第1回、板幅と板厚との比とせん断塑性層の関係について、その限界値を求め、さらに、矩形断面の耐荷トルクとねじれ剛度を求める。第2回、 M^t -P曲線からサンプナムのねじれ剛度より、見かけのせん断弹性係数を求める。一方、 M^t -E曲線からせん断弹性係数を求めて、せん断弹性係数について整理をおこなうこととした。

実験のやり方および整理の仕方は、前回までのSS41, SM50A, コルテン, FNB36B, FTW60とのと同様である。

2. 供試体および実験方法

供試体は、平均板厚 $t = 6.0\text{mm}$ 、外形寸法 $210 \times 210 \sim 660\text{mm}$ の矩形断面で、長さは 1.75m であり、両端に載荷フレームとり付け用アレートを溶接してある。(図1.) 供試体の材質は、HT80であり、H1～H6までの16本について実験をおこなうこととした。載荷フレームは、固定側と回転側とにわかれ、固定側は、実験室の床板にアンカーボルトで固定され、回転側は、回転軸をまわりながら回転できるようになっていた。ねじりモーメントは、回転側を回転軸から 1.5m はなれたところを、ジャッキで載荷して与えた。H-1, 2, 5については、実験室の都合上、押し上げにより、モリ化のもとにつけては、押し下すことにより、ねじりモーメントを与えた。

測定は、供試体中央に複数抵抗ひずみ計を、6枚はって板のたわみを求める。ダイヤルゲージを端板に対しとりつけることにより、ねじり角を求ることとした。

3. 実験結果

実験よりえられた M^t , G_1 , G_2 を次頁に表にしておいた。表の耐荷トルクとは、それ以上トルクを増加しようととしても、ねじれ変形が増加するだけで、それ以上トルクが上からおこなった状態のことをトルクまへう。では、そのときのせん断塑性理論によるとせん断たわみ、 G_1 は、 M^t -E曲線から求められたせん断弹性係数、 G_2 は、 M^t -P曲線の平均こう配をサンプナムのねじれ剛度と見たことの見かけのせん断弹性係数である。

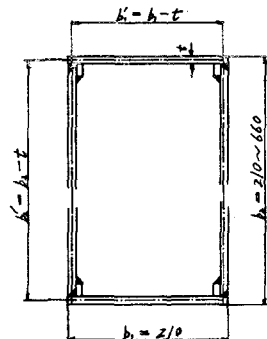


図1. 供試体断面

矩形断面主形寸法と鋼板

の板厚 t 、板幅 b とするとき、
スル比 b/t の小さい間は、

耐荷トルクは、鋼板のせん
断応力で降伏点で定まる
が、 b/t 大きくなると
鋼板のせん断強度により定
まる。 b/t せん断強度を、
図 2 にプロットしてみた。
なお、図 2 には、比較のた
めに、SS41, SM50A の実験
結果も含めておいた。
本実験では、現在まで、
この限界値 b/t は、あきら
かでなく、せん断応力の降

伏点も同様である。それは、H-1, 2, 5,
7, 8 が摩擦部で破壊してしまひ、耐荷ト
ルクまで上らなかつたためである。前回
の FTW 60 の実験結果から $\tau_y = 1/1.68$ から
5.推察してみると、H-1, 2, 5, 7 は、十分
耐荷トルクまで上かつてゐることあわ
かる。

供試体の両端で測定したけたの相対ね
じ角から、単位長さ当りのねじ角 θ
を計算し、これと作用させたトルク M^t
の関係を図 3 にプロットした。これから、
二ラ配を求め、これによりねじ剛度を判断することにし
た。また、これを GK とみて、これよりせん断弹性係数を計算して、 $M^t - \theta$ から G_1 と比較のため
に表に併記した。

鋼板の応力を測定するためには、供試体
中央に単脚式ストレインゲージを供試体
軸に対して 45° 方向にはつたが、これは、
鋼板の主引張方向に向つていて、こゝに
すみとは、せん断応力で、 $\varepsilon = \frac{M^t}{E} \theta$
の関係にならうから、 M^t から求めたてと、
測定されたひずみとはから、 $M^t - \theta$ の
関係でせん断弹性係数を求め、これを表

表 耐荷モーメント、せん断強度とせん断弹性係数

供試体番号	耐荷モーメント M^t (kg)	せん断強度 τ (kg/cm)	板幅厚比 b/t	G_1 (kg/cm ²)	G_2 (kg/cm ²)
				ストレインゲージ	ねじ剛度
H-1	19.85	3.995	35	9.78 ± 0.69	10.22
H-2	24.8	4.338	40	9.94 ± 0.77	9.69
H-3			45		
H-4			50		
H-5	28.8	3.631	55	9.11 ± 0.77	8.19
H-6			60		
H-7	30.0	3.191	65	9.59 ± 0.68	9.72
H-8	43.5	4.292	70	9.12 ± 0.34	10.16
H-9	42.7	3.928	75	8.77 ± 0.45	9.38
H-10	41.6	3.585	80	8.82 ± 0.34	9.47
H-11	41.3	3.347	85	8.66 ± 0.28	9.06
H-12	43.2	3.305	90	8.29 ± 0.32	8.92
H-13	42.9	3.107	95	9.23 ± 0.66	9.22
H-14	41.25	2.837	100	8.33 ± 0.26	10.42
H-15	41.9	2.743	105	8.72 ± 0.71	8.29
H-16	37.8	2.361	110	2.55 ± 0.26	7.44

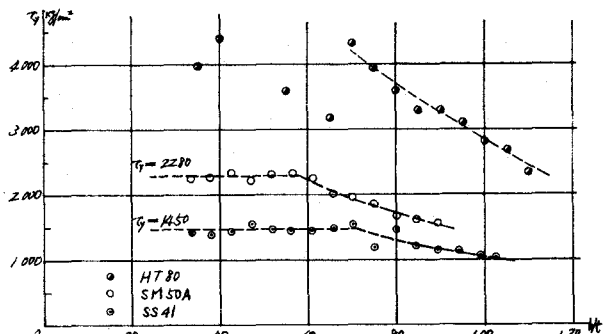


図 2. 鋼板のせん断強度

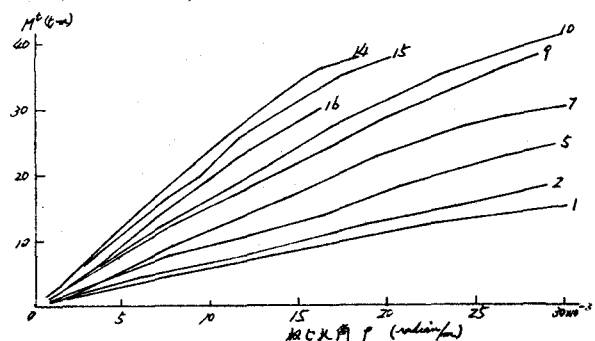


図 3. モーメントとねじ剛角の関係

に仄した。

G_s と G_0 を比較すると、一般に、 $G_s < G_0$ である。 G_0 は、板の曲げや軸応力の影響が入っていると考えられ、見かけのせん断弾性係数 G_0 が大きいのは想像でよいところである。これは、H-1 と H-2 の押し上げによるたものに付いては、その影響が大きそうと推定されるが、その傾向が表にも示している。従って、鋼板のせん断弾性係数の判断には、 G_0 が適当であろうと思われる。 G_0 は、 G_s より平均 9% 大きい。この傾向は、SS4L, SW150A, コルテン, FNB36B, FTW60 についても、 G_0 は平均 8% も大きい。

4. まとめ

H-1, 2, 5, 7, 8 は、接觸部の破壊により破壊した。このことは、HT80 をねじりに対して何とかの問題があるかどうかは、さらに考察しなければならぬが、構造計算が接觸破壊するといふことは、好ましいことではない。実験を整理させん断弾性係数に帰納して考えたが、 G_0 については、さらに考察する必要があると思われる。また、本報文では、ひびの限界値およびせん断応力の降伏点での値をあきらかでないが、H-3, 4, 6, 7 の破壊をしながした後、実験をおこなう。あきらかにしたいと思う。なお、実験装置などについては、当日スライドで示す予定である。材料試験の結果および G_s とり關係についても当日報告の予定である。

参考文献

- 島田静雄：鋼薄肉矩形断面のねじり剛度とせん断強度、第19回土木学会年次学術講演会、昭39.5
島田静雄：鋼薄肉矩形断面のねじり実験および理論的検討、土木学会論文集第114号、昭40.2
島田静雄：最近の橋梁設計の新動向、土木学会誌 50巻 5号、昭40.5
島田、水野、山本：鋼薄肉矩形断面のねじり試験について、昭和41年度土木学会中部支部、昭41.11

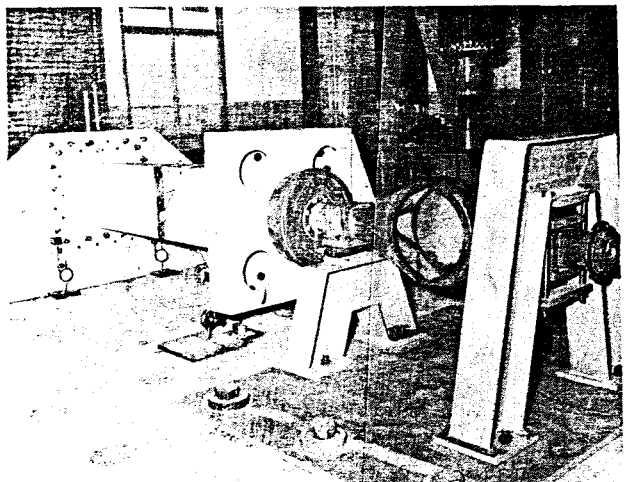


写真1. 載荷フレーム

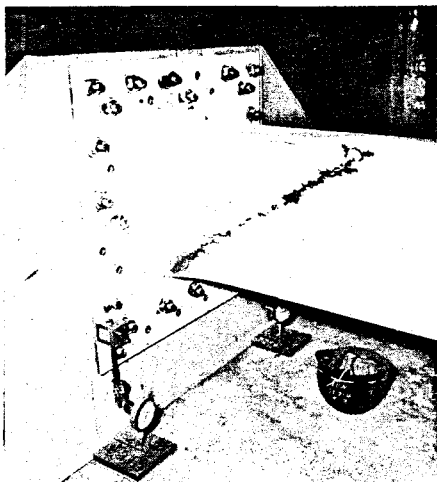


写真2. ダイヤルゲージ取り付け